



# 可控硅技术应用

湖南省革委会科技局情报研究所

一九七七年五月

(H) 1977

T K 329  
1  
2

# 立车磁场切换可逆可控硅直流调速装置

湘潭市三号信箱情报资料室

## 内 容 提 要

本文结合湘潭电机厂三分厂某立车主传动电气技术改造，介绍了一个借助于电磁继电接触器来切换电动机磁场，以实现可逆运转的可控硅直流调速系统的结构和工作原理；着重叙述了一种切换指令运算器的结构设计，并分析其工作状态。文中应用“最佳调节理论”选择调节器的结构，计算调节器的参数，提出进一步调整的打算。最后，文章分析了调试中出现的问题及其解决措施，并对系统中的一些问题进行了讨论。

## 一、主要技术要求及方案确定

该立车主传动对电气传动自动控制系统的主要技术要求为：

1. 调速范围不小于42：1，能在加工过程中平滑调速，无级调速范围尽量大；
2. 传动电动机的功率为37／12瓩（对应于电动机转速2300—1800／580转／分），
3. 可逆运转，以满足调整工件等正反转要求；
4. 工作台及工件的转动惯量较大，起动、制动要平稳，以避免冲击；
5. 调整工件时，起、制动较为频繁（达30—50次／分），要求过渡过程较快；
6. 速度稳定性要好，静差度小于5%，能满足精加工要求；
7. 操作简单方便；
8. 尽量采用厂内元件（如直流电动机尽量采用本厂制造的42瓩、175／220／330伏、175安电动机）。

根据上述要求，结合厂内实际，经过三结合反复讨论，最后决定采用可控硅新技术，选用主回路可控硅调压、磁场有接点切换的直流可逆调速系统（简称磁场切换可逆可控硅调速系统），而不采用较为复杂的电枢可逆可控硅调速系统和磁场反向（可控硅反并联激磁）可逆可控硅调速系统。因为磁场切换可逆系统，能满足该立车的基本要求，同时对于技术改造项目，也要力求简单、可靠、经济和尽快上马。

## 二、系 统 工 作 原 理

现把该立车电气主传动新方案——K T Z—40型可控硅调速装置的工作原理，简要介绍如下：



A 840561

1

## (一) 系统的构成:

KTZ—40型可控硅调速装置的工作原理图如图1—1所示。

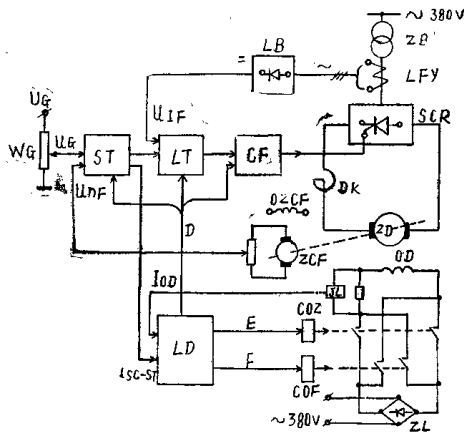


图1—1 磁场切换可逆可控硅直流调速系统工作原理简图

图1中主要单元符号说明如下:

- S T——速度调节器;
- L T——电流调节器;
- C F——双脉冲触发器;
- S C R——三相全控桥可控硅整流电路;
- D K——平波电抗器;
- Z D——直流电动机(O D为其磁场绕组);
- L D——逻辑运算电路;
- $u_g$ ——速度给定电压;
- $u_{af}$ ——速度反馈电压;
- $u_{if}$ ——电流反馈电压;
- Z B——主整流变压器;
- L F Y——交流电流互感器;
- L B——电流变换器(三相整流桥);
- Z L——磁场整流桥;
- Z C F——直流测速发电机(O Z C F为其磁场绕组);

JL —— 磁场电流检测继电器;  
 $I_{OD}$  —— 磁场电流信号;  
 COZ —— 正磁场接触器;  
 COF —— 负磁场接触器;  
 $u_{SCR}$  —— 速度调节器输出电压;  
 D —— 调节器“锁零”和触发脉冲封锁信号;  
 E —— 正转矩指令;  
 F —— 负转矩指令。

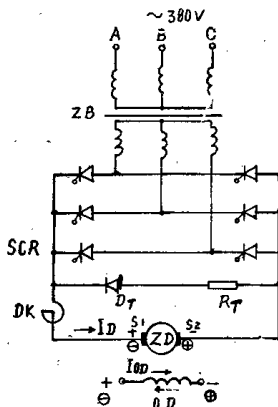


图 1—2 KTZ—40型调速装置主回路

图 1—2 可以看出： $I_D$  只能有一个流通方向，规定其为正值。

欲正向起动电动机，必须加入正向磁场电压  $+u_{OD}$ ，产生正向磁场电流  $I_{OD+}$  和正向磁通  $\Phi_+$ ，当电枢有电流通过时，即发出正向力矩  $M_D+$ 。只要  $M_D+$  大于负载阻力矩，电动机即加速起动至规定转速。

设电动机已正向起动后，稳定运行于某个正向转速  $n_D+$ ，稳态电流为  $I_D$ 。这时，电动机发出的电动力矩为  $M_D+ = K_m \Phi + I_D$ ，用于克服负载阻力矩。反电势  $E_D+ = K_e \Phi + n_D+$  亦为正值。

当电动机要求制动停车时，第一步，封锁可控硅触发脉冲；第二步，改变电动机磁场电压极性（即反接磁场）为  $-u_{OD}$ ，迫使磁场电流变为  $I_{OD-}$ ，相应磁通为  $\Phi_-$ 。

## (二) 主回路及可逆工作原理

KTZ—40型可控硅调速装置的主回路由降压整流变压器 ZB、三相可控硅全控整流桥 SCR、平波电抗器 DK 和直流电动机 ZD 组成，见图 1—2。

如所周知，调节可控硅移相触发脉冲的相位，即可调节可控硅全控桥的整流电压，从而在广宽的范围内调节直流电动机的转速。

为了简化线路结构，保证早日投产，决定采用无接点能耗制动方案（关于控制方案的比较，见控制电路部分），其可逆工作原理简述如下。

直流电动机发出的力矩  $M_D$  和反电势  $E_D$  具有下列一般形式：

$$M_D = K_m \Phi I_D \quad (1)$$

$$E_D = K_e \Phi n_D \quad (2)$$

式中， $K_m$  和  $K_e$  为电机常数， $\Phi$  为电动机磁场磁通， $I_D$  为电枢电流， $n_D$  为电动机转速。

从图 1—2 可以看出： $I_D$  只能有一个流通方向，规定其为正值。

欲正向起动电动机，必须加入正向磁场电压  $+u_{OD}$ ，产生正向磁场电流  $I_{OD+}$  和正向磁通  $\Phi_+$ ，当电枢有电流通过时，即发出正向力矩  $M_D+$ 。只要  $M_D+$  大于负载阻力矩，电动机即加速起动至规定转速。

设电动机已正向起动后，稳定运行于某个正向转速  $n_D+$ ，稳态电流为  $I_D$ 。这时，电动机发出的电动力矩为  $M_D+ = K_m \Phi + I_D$ ，用于克服负载阻力矩。反电势  $E_D+ = K_e \Phi + n_D+$  亦为正值。

当电动机要求制动停车时，第一步，封锁可控硅触发脉冲；第二步，改变电动机磁场电压极性（即反接磁场）为  $-u_{OD}$ ，迫使磁场电流变为  $I_{OD-}$ ，相应磁通为  $\Phi_-$ 。

在反接磁场之前， $E_D = E_{D+}$  为正值，二极管  $D_T$  承受反向电压，能耗制动回路相当于开路。在反接磁场之后， $\phi_+$  变为  $\phi_-$ ，又  $n_D = n_{D+}$  来不及改变方向，所以  $E_D = K_e \phi_- n_D$  变为负值（ $E_D$  如图 1—2 中的  $\oplus$ 、 $\ominus$  所示），能耗制动二极管承受正向电压，经由  $S_1 \rightarrow K_T \rightarrow D_T \rightarrow DK \rightarrow S_1 \rightarrow ZD$  流过电流。这时， $M_D = K_m \phi_- I_D$  也变为负值 ( $M_{D-}$ )，成为制动力矩，迫使电动机制动停车。当制动结束时， $n_D = 0$ ，磁场自动撤除，即  $u_{OD} = 0$ ， $I_{OD} = 0$ ， $\phi = 0$ 。 $K_T$  为限流电阻，以保证制动时电枢电流的正常换向。

当要求电动机反向起动时，应加上负向磁场  $-u_{OD}$ ， $I_{OD-}$  及  $\phi_-$ ；制动时反接磁场变为  $+u_{OD}$ ， $I_{OD+}$  及  $\phi_+$ 。其起、制动原理同正向起、制动时一样，在此不加赘述。

应当指出，由于电动机磁场切换需要一定的时间（对于中等功率的电动机，这一时间约为 0.5—1 秒），系统制动时有一定的无电流（无力矩）间隙。本装置整定马达空载时无电流间隙时间为 0.42 秒，所以对系统制动停车的快速性有一定影响。

### (三) 控 制 电 路

#### 1. 控制方案的选择

在选择控制方案时，考虑了下列二个问题：第一，是否设置逻辑运算电路；第二，主回路是采用能耗制动或逆变制动。对于第一个问题，比较易于决定。因为如果不用逻辑电路，那将使操作很不方便，且不能满足生产要求。例如，要起动电动机，先要加上磁场，然后给调节器加上给定电压，起动电动机。如果要制动停车，就要先去掉给定电压，封锁可控硅，待制动完毕后，再去掉电动机磁场。对于不同的转向，要求加上不同极性的给定电压和磁场电压。这样，就需要由四个按钮（不包括“停止”按钮）来操作，而且，操作者必须时刻记住该如何组合操作上述四个按钮，使操作既麻烦、费脑筋，又较为缓慢，且易发生误操作。实际上，不用逻辑电路的多次操作方案，其逻辑职能是由操作者的脑子、手和眼睛等器官来执行的。因此，为了尽快操作与切换电路，为了便于操作，系统中设置有逻辑运算电路。

对于第二个问题，我们设计了两种制动方案。图 1—3 绘出能耗制动方案的方块图，图 1—4 绘出逆变制动方案的方块图。与图 1—1 不同的是：逻辑电路输入控制信号之一不是  $u_{SC-ST}$ ，而是同时引入给定电压和速度反馈电压。其原因请见逻辑电路设计部分。

在图 1—3、图 1—4 中，除图 1—1 已经说明外，其它元件和符号介绍于下：

$JZ$ ， $JF$ ——正、反转主令继电器，传递速度给定指令；

$-1$ ——反号器；

$D_T$ ——能耗制动二极管；

$R_T$ ——能耗制动限流电阻；

$DK_Z$ ， $DK_F$ ——电子转换开关；

$F_1 \sim F_8$ ——否元件；

$DJ_1$ ， $DJ_2$ ——电平检测器；

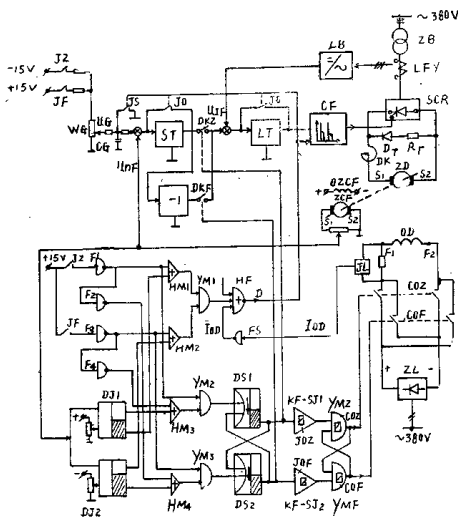


图 1—3 磁场切换能耗制动可逆可控硅调速装置方块图

$H_{M1} \sim H_{M4}$  ——二极管或门；

$Y_{M1} \sim Y_{M8}$  ——三极管与门；

$H\bar{F}$  ——或否元件；

$D\bar{S}1, D\bar{S}2$  ——延时元件；

$KF-SJ_1, KF-SJ_2$  ——带干簧继电器“是”输出的开关放大器（干簧继电器为  $J_{OZ}$  和  $J_{OF}$ ）；

$Y_{M2}(CO_Z), Y_{MF}(CO_F)$  ——继电器与门，由干簧继电器  $J_{OZ}$  和  $J_{OF}$  接点以及  $CO_F$  和  $CO_Z$  的联锁接点控制；

$JS$  ——给定封锁指令（由干簧继电器  $JS$  执行）；

$JO$  ——调节器“锁另”指令（由干簧继电器  $JO$  执行）；

$\pm 15V$  ——稳压值为  $\pm 15$  伏的晶体管稳压电源（各一台）；

$C_G$  ——速度给定滤波（积分）电容器；

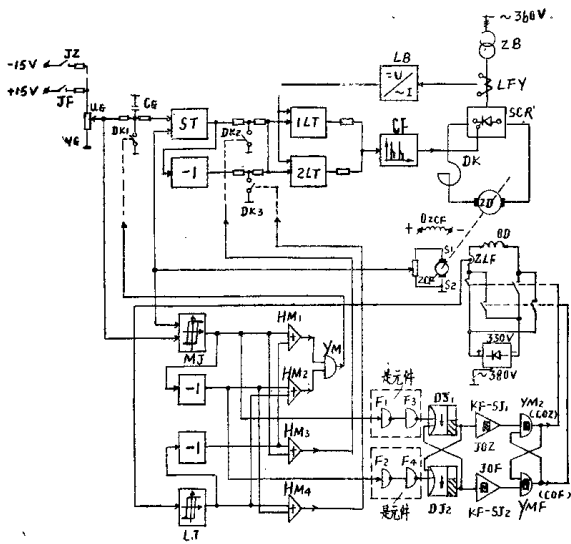


图 1—4 磁场切换逆变制动可逆可控硅调速装置方块图

1 LT, 2 LT——正组和反组电流调节器；

DK1~DK3——三极管电子开关；

MJ——力矩极性鉴别器；

LJ——磁场电流极性鉴别器

Z LF——直流电流互感器

能耗制动方案与逆变制动方案的共同点在于：制动时电动机磁场必须反接；不同点是：逆变制动时不关断可控硅，而使可控硅处于待逆变或本桥逆变工作状态，把电动机机械能变为电能，馈回电网。与此相应也就不必对调节器“锁另”和对触发脉冲加以封锁。

比较两个控制方案，在电路结构上两者的复杂程度相差不大（逆变制动方案稍为复杂些）。逆变制动时，主回路有较为充满的电流波形，能保持较大的平均制动力矩，制动较快；而起动不会比能耗制动方案快，当磁场原始极性不合要求时，起动时还要先切

换磁场，这样，起动反而较能耗制动方案为慢些。逆变制动方案的最大优点是节省电能，能够把电动机和运动机械所贮藏的机械能变成电能，经可控硅逆变，送回电网。不过，对于本立车主传动，制动时间只占产品加工周期的5%左右，加以传动功率也不很大（40瓩左右），所以省电也是很有限的。

经过比较，我们认为：对于该立车主传动来说，两种控制方案原则上均可采用；具体采用何种方案，要视工作方便而定。由于逆变制动方案要求较多的固体组件运算放大器（比能耗制动多一倍以上），而当时我们总共只有五个8FC2固体组件。此外，磁场电流极性鉴别器所需印刷电路版及磁环均未备好。因此，为了保证工程进度，我们决定采用能耗制动控制方案。

## 2. 控制电路组成及工作原理

KTZ—40型可控硅调速装置的控制电路主要由下列单元组成（参阅图1—3及附总原理图）：

①给定积分环节：由主令继电器JZ、JF，给定电位器WG和积分电容器CG等组成。

②调节器：包括速度调节器ST、电流调节器LT和反号器—1等，均由固体组件运算放大器8FC2加互补射极跟随器输出，配合适当的运算网路组成。

③触发器：由触发器输入跟随器，同步变压器组、六块触发板和六个脉冲变压器组成。本触发器为一双脉冲触发器，它由同步电源、锯齿波形成、尖脉冲形成、双脉冲形成和脉冲整形功放等环节构成。脉冲整形功放由专用强触发直流电源供电，其它部分由—15伏稳压电源供电。

④逻辑电路：由电平检测器、门电路、否元件、或否元件、延时元件和开关放大器等组成。

⑤直流稳压控制电源：包括±15伏晶体管稳压电源和触发功放专用直流电源。

各控制单元的电子电路请看附总原理图。各环节和单元的作用原理，请参阅有关参考资料。下面粗略介绍一下主控制通道的工作情况（参阅图1—3）。

当装置处于原始停车状态时，主令信号为0（主令继电器JZ和JF的常开接点均打开）， $U_G = u_G = 0$ 。同时，逻辑运算电路应保证D为0态， $u_{JO}$ 和 $u_{JT}$ 为1态，从而给定封锁、调节器锁男和触发脉冲封锁等信号都加至主控制通道（逻辑电路工作原理见后面介绍），使速度调节器输出电压 $u_{SC-ST}$ 和电流调节器输出电压 $u_{SC-LT}$ 均为0。可控硅因触发脉冲封锁而不开放，主回路不工作。

当加上主令信号后，JZ（或JF）常开接点闭合，主控制通道和逻辑电路得到给定信号。 $u_G < 0$ （或 $u_G > 0$ ）。逻辑电路保证给电动机加上正向（或负向）磁场电压；同时，电子开关DKZ（DKF）接通。待电动机建立起足够大的磁场电流后，主控制通道上的各种封锁信号同时解除，即D变为1态， $u_{JS}$ 和 $u_{JO}$ 变为0态，速度给定信号通过ST和电子开关DKZ（或ST、—1和电子开关DKF），给LT加入正输入信号，而 $u_{SC-LT} < 0$ ，控制触发器发出 $\alpha < 90^\circ$ 的移相脉冲，可控硅整流器工作于整流状态，电动机按预定规律加速起动。一旦起动， $n_D \neq 0$ ，逻辑电路维持原状态不变（记忆）；而速度反馈信号 $u_{n_F}$ 送至ST，以调节速度；电流反馈信号 $u_{IF}$ 送至LT，以调节电枢

电流。系统各参量 ( $u_G$ 、 $u_{aF}$ 、 $u_{IF}$ 、 $u_{SC-ST}$ 、 $u_{SC-LT}$ 、 $u_{d\alpha}$ 、 $i_D$  和  $n_p$  等) 均按预定规律变化, 直流电动机被起动至由  $u_G$  所规定的稳态转速, 稳定运转。

当要求制动停车时, 去掉主令信号, 逻辑电路也失去给定信号。但因  $i_D \neq 0$ , 逻辑电路能保证做到: 第一、立即封锁主控制通道, 使可控硅因脉冲封锁而关断; 第二、切换电动机磁场 (同时切换主控制通道电子开关  $DK_Z$  和  $DK_F$  的工作状态, 由于主控制通道已封锁, 所以  $DK_Z$  和  $DK_F$  的工作状态这时对系统工作没有影响), 使电动机处于发电运行状态, 经制动电阻  $R_T$ 、制动二极管  $D_T$ 、平波电抗器  $DK$  和电动机电枢, 进行能耗制动, 迫使电动机和立车工作台较快地停车。停车后,  $i_D = 0$ , 逻辑电路能继续维持对主控制通道的封锁, 并切断电动机磁场, 关断电子开关  $DK_Z$  和  $DK_F$ , 为下一次起动做好准备。

其它工作状态不难类推, 在此不予一一列举。

### 三、逻辑电路设计与工作分析

图 1—3 所示的逻辑结构图是如何设计的, 电路的工作状态如何, 实际电子线路又是怎样的? 下面就来讨论这些问题。

#### (一) 逻辑结构设计

由图 1—1 可知, 逻辑运算电路有三个输出信号 (见图 1—5.a), 即:

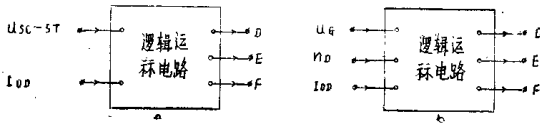


图 1—5 逻辑电路的输入和输出信号

D 信号——触发脉冲封锁与开放指令。当要求封锁时, D 为 0 状态; 当要求开放时, D 为 1 状态 (同时,  $u_{SC-ST}$  和  $u_{SC-LT}$  应为 0 状态)。

E 信号——正转矩指令输出信号和主控制通道正向电子开关  $DK_Z$  导通信号。对于正向激磁信号, 当要求正向起动运转或负向制动时, E 为 1 状态。其它情况下, E 为 0 状态。正向工作时,  $DK_Z$  导通。

F 信号——负转矩指令输出信号和主控制通道负向电子开关  $DK_F$  导通信号。对于负向激磁信号, 当要求负向起动运转或正向制动时, F 为 1 状态。其它情况下, F 为 0 状态。负向工作时,  $DK_F$  导通。

##### 1. 磁场切换指令逻辑设计

根据对 E、F 信号的要求, 结合调速装置的各种运行状态, 可列出表 1 所示的磁场

切换指令逻辑电路的输出信号 E、F 对输入信号的函数关系，即真值表

表 1 磁场切换逻辑电路真值表

电 位 信 号		$u_G$	$u_{nD}$	$u_{SC-ST}$	E	F
调速装置运行状态						
初 始 状 态		0	0	0	0	0
正 向 运 行	正向起动始	+	0	+	1	0
	正向起动续	+	+	+	1	0
	正向稳定运转	+	+	+	1	0
	正向制动始	0	+	-	0	1
	正向制动毕	0	0	0	0	0
负 向 运 行	负向起动始	-	0	-	0	1
	负向起动续	-	-	-	0	1
	负向稳定运转	-	-	-	0	1
	负向制动始	0	-	+	1	0
	负向制动毕	0	0	0	0	0
正向至负向反转运行		-	+	+	0	1
负向至正向反转运行		+	-	-	1	0

在表 1 中，“+”、“-”及“1”均指 1 态，“0”为 0 态，并规定：

$G_+$ —— $u_G > 0$ ；

$G_-$ —— $u_G < 0$ ；

$G_+$ ——非  $G_+$ ，正向工作， $u_G = 0$  过程；

$G_-$ ——非  $G_-$ ，负向工作， $u_G = 0$  过程；

$N_+$ —— $n_D > 0$ ；

$N_-$ —— $n_D < 0$ ；

$N_0$ ——非  $N_0$ ，即  $n_D = 0$ ；

$u_{SC-ST} \oplus$ —— $u_{SC-ST} > 0$ ；

$u_{SC-ST} \ominus$ —— $u_{SC-ST} < 0$ 。

结合 (图 1—5a)，按表 1 真值表可写出逻辑函数表达式，并加以简化如下：

$$E = u_{SC-ST} \oplus \overline{F} + u_{SC-ST} \ominus \overline{F} = (u_{SC-ST} \oplus + u_{SC-ST} \ominus) \overline{F}$$

$$= (u_{SC-ST} \oplus + u_{SC-ST} \ominus) + F \quad (3)$$

$$F = u_{SC-ST} \ominus \bar{E} + u_{SC-LT} \oplus \bar{E} = (u_{SC-ST} \ominus + u_{SC-ST} \oplus) \bar{E}$$

$$= (u_{SC-ST} \ominus + u_{SC-LT} \oplus) + E \quad (4)$$

按式(3)和(4), 可以画出逻辑图如图1—6所示。可见E函数和F函数均由二个二输入端的或否元件所组成。

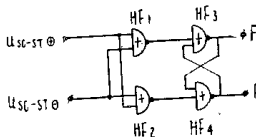


图1—6 磁场切换逻辑图之一

由于K T Z—40型装置系采用磁场切换, 主回路又是采用能耗制动方案, 要求在电动机加上磁场之后 ( $E = 1$ , 或  $F = 1$ ), 才允许开放ST、LT及触发脉冲信号, 即要求先加磁场, 后解除锁另及脉冲封锁。显然, 这是图1—6所不能胜任的。因为在起动前,  $u_{SC-ST} \oplus = u_{SC-ST} \ominus = 0$ , 所以E和F总是为0, 不可能建立起磁场, 也就永远无法起动。

为了解决调节器锁另与磁场切换信号要求之间的矛盾, 我们以  $(u_G - u_F)$  信号代替  $u_{SC-ST}$  信号, 如图1—5b所示。逻辑电路的真值表亦见表1。

据表1, 还可列出逻辑函数表达式:

$$E = G_+ \bar{N}_o \bar{F} + G_+ \bar{F} + G_- N_- \bar{F} + G_+ N_- \bar{F}$$

$$= [G_+ (\bar{N}_o + N_-) + G_+ N_+] \bar{F} \quad (5)$$

可以证明(见表2):

$$\bar{N}_o + N_- = \bar{N}_+$$

代入式(5)得:

$$E = (G_+ \bar{N}_+ + G_+ N_+ + \bar{G}_- N_-) \bar{F} = [G_+ (\bar{N}_+ + N_+) + \bar{G}_- N_-] \bar{F}$$

$$= (G_+ + \bar{G}_- N_-) \bar{F} = [G_+ + (G_- + \bar{N}_-)] \bar{F}$$

$$= [\bar{G}_+ (G_- + \bar{N}_-)] \bar{F} = \bar{G}_+ (G_- + \bar{N}_-) + F \quad (6)$$

同样有:

$$F = \bar{G}_+ N_+ \bar{E} + G_- \bar{N}_o \bar{E} + G_- N_- \bar{E} + G_- N_+ \bar{E}$$

$$= [\bar{G}_+ N_+ + G_- (\bar{N}_o + N_+) + G_- N_-] \bar{E} \quad (7)$$

据表3有:

$$\bar{N}_o + N_+ = \bar{N}_-$$

代入(7)式得:

表2  $N_0 + N_- = \bar{N}_+$ 

$N_0$	0	0
$\bar{N}_0$	1	1
$N_-$	1	1
$N_+$	0	0
$\bar{N}_+$	1	1
$\bar{N}_0 + N_-$	1	1

表3  $\bar{N}_0 + N_+ = \bar{N}_-$ 

$N_0$	0	0
$\bar{N}_0$	1	1
$N_+$	1	1
$N_-$	0	0
$\bar{N}_-$	1	1
$\bar{N}_0 + N_+$	1	1

$$\begin{aligned}
 F [G_+, N_+ + G_- N_- + G_- \bar{N}_-] \bar{E} &= [G_+, N_+ + G_- (N_- + \bar{N}_-)] \bar{E} \\
 &= (G_+, N_+ + G_-) \bar{E} = [G_- + (G_+ + \bar{N}_-)] \bar{E} \\
 &= [G_- (G_+ + \bar{N}_+)] \bar{E} = \bar{G}_- (G_+ + \bar{N}_+) + E \quad (8)
 \end{aligned}$$

据式(6)和(8), 画出E函数和F函数的逻辑图于(图1—7.a), 共用了二个二输入端与门, 二个二输入端或否元件。

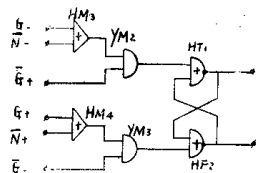


图1—7a

由于磁场电磁继电——接触器有一定的延时, 为防止正、负组磁场接点同时接通而造成磁场短路, 必须在图1—7a的输出端加上延时元件, 并由其输出信号去控制带干簧继电器“是”输出的开关放大器和具有互锁的电磁继电—接触器。这样一来, 图1—7a逻辑图即变为图1—7b形式。图1—7b中, 延时元件DS1和DS2兼有延时和或否元件的作用。其中, 输出信号E和F用于控制电子开关DKZ和DKF, E'和F'用于切换电动机磁场。它们的逻辑关系为:  $E' = E$ ,  $F' = F$ 。

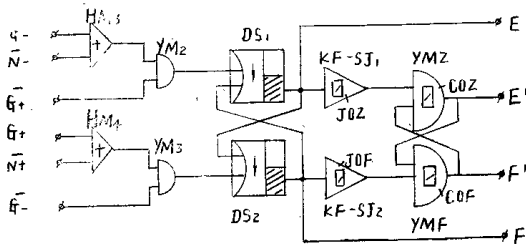


图 1-7b 磁场切换逻辑图之二

## 2. 主控制通道运转指令逻辑设计

主控制通道运转指令，即 D 信号，如前所述，包括触发脉冲封锁、速度给定封锁和调节器锁三种逻辑功能。这三种逻辑的要求是一致的，即：只有同时具备下列条件时，才允许解除对主控制通道的封锁（使  $D = 1$ ）：

① 电动机已有足够磁场电流 ( $I_{OD} = 1$ )；

② 有主令信号，且其极性与转速极性（方向）一致，亦即当有正向速度给定信号 ( $u_G > 0$ )，且  $n \geq 0$ ；或当有负向速度给定信号 ( $u_G < 0$ )，且  $n \leq 0$  时。

按上述要求可列出主控制通道逻辑电路真值表于表 4。由于没有必要，在表中未列出  $I_{OD} = 0$  的情况。

表 4 主控制通道运转指令逻辑电路真值表

电 位 置 调速装置运行状态	信 号	$u_G$	N	$I_{OD}$	D
正主令信号， 非负向运转	起动初始	+	0	1	1
	已正向运转	+	+	1	1
负主令信号， 非正向运转	起动初始	-	0	1	1
	已负向运转	-	-	1	1
正主令信号， 负向制动过程		+	-	1	0
负主令信号， 正向制动过程		-	+	1	0

据表 4，列出 D 函数布尔式：

$$D = G_+ \bar{N}_0 I_{OD} + G_+ N_+ I_{OD} + G_- \bar{N}_0 I_{OD} + G_- N_- I_{OD}$$

$$\begin{aligned}
 &= I_{OD} (G_+ \bar{N}_0 + G_+ N_+ + G_- \bar{N}_0 + G_- N_-) \\
 &= I_{OD} [G_+ (\bar{N}_0 + N_+) + G_- (\bar{N}_0 + N_-)] \\
 &= I_{OD} (G_+ \bar{N}_+ + G_- \bar{N}_-)
 \end{aligned} \quad (9)$$

其逻辑图示于图(1—8 a)。从图可见，必须在  $Y_{M1}$  后面加“是”元件，或把  $Y_{M1}$  变为与非元件  $YF$ ，再加否元件  $F$ ，才能把逻辑信号输送出去。等值变换后的 D 函数见图 1—8 b。

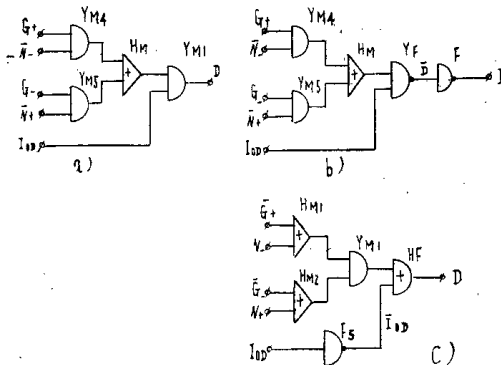


图 1—8 主控制通道运转指令逻辑图

应用布尔代数对 D 函数进行等值变换于下：

$$\begin{aligned}
 D &= I_{OD} (G_+ \bar{N}_+ + G_- \bar{N}_-) = I_{OD} [(\bar{G}_+ + N_+) + (\bar{G}_- + N_-)] \\
 &= I_{OD} [(\bar{G}_+ + (N_-) \cdot \bar{G}_- + N_+)] \\
 &= \overline{I_{OD}} + (\bar{G}_+ + N_-) (\bar{G}_- + N_+)
 \end{aligned} \quad (10)$$

式(10) D 函数的逻辑图见图 1—8c。

比较图 1—8 b 和 c 可知，两者都是需要八个二极管、两个三极管加上部分电阻，线路复杂性差不多，所以原则上可以采用图 1—8 b 或 c 的逻辑结构图来组成实际电子线路，在实际应用中，我们采用了图 1—8 c 的结构形式。

综合磁场切换逻辑图和主控制通道运转逻辑图，即得 KTZ—40 型装置总逻辑图。前已指出，逻辑电路输入信号只有  $u_+$  和  $u_-$  (即  $n_+$ )。为了获得所需的输入量，必须在逻辑电路的输入端加入信号转换电路，即加入速度极性鉴别器和给定信号极性鉴别器。

速度极性鉴别器可以由电平检测器构成，也可以由否元件 $F_1 \sim F_4$ 与主令继电器 $JZ$ 和 $JF$ 的接点组成。这样，就得出图 1—9 所示的系统总逻辑图。

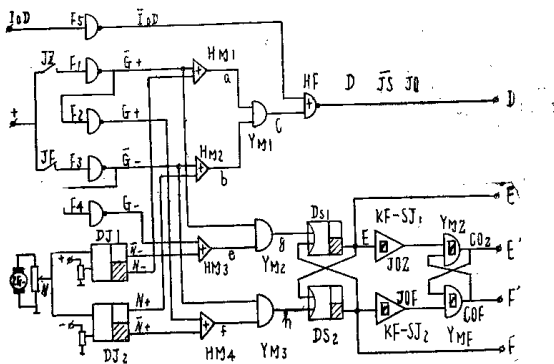
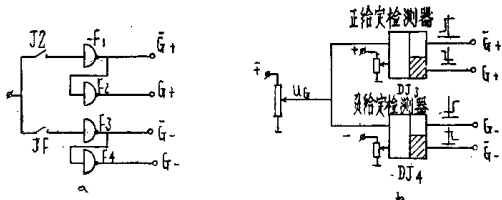


图 1—9 KTZ—40型装置总逻辑图



a) 主令继电器接点和否元件组合      b) 速度给定电压与电平检测器组合（实取 $u_c < 0$ 为正给定， $u_c > 0$ 为负给定）

图 1—10 两种主要给定输入信号转换装置的比较

当采用电平检测器作为给定信号极性鉴别器时，总逻辑图不难画出。与图 1—9 不同的部分，比较于图 1—10。

## (二) 逻辑电子线路

请参阅 KTZ—40 型装置总原理图（见附图）。

### (三) 逻辑电路工作分析

在KTZ-40型调速装置各种工作状态下，逻辑运算电路各点的工作状态列表分析于表5。分析表5时，请参阅图1-9及总原理图。

表5中，符号“ $\rightarrow_1$ ”表示由0态延时变为1态。

自投产以来，除了有一次因稳压电源故障（见后述）导致部分三极管过电压损坏外，逻辑电路未发生过其它故障，说明其工作比较可靠。

### 四、调节器结构和参数选择

为了使本装置有较好的静态和动态性能，不仅需要合理地选择主回路结构和控制方案，而且必须合理地选择调节器的结构和参数。下面应用所谓“最佳调节理论”来选择速度调节器和电流调节器的结构，计算其参数，为调整工作提供参考数据。

#### (一) 系统结构图

由于本装置能保证先加上电动机磁场，后开放主控制通道和可控硅整流器，起动电动机，所以可以认为本装置是一个磁场恒定的双环（速度环和电流环）控制系统。据图1-1可画出其结构图，如图1-11所示。

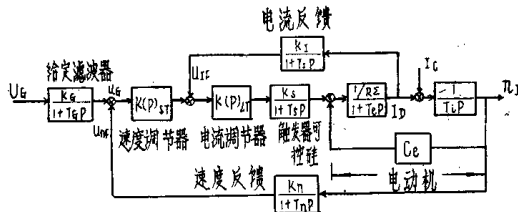


图1-11 KTZ-40型调速系统结构图

图1-11中：

$\frac{K_G}{1+T_{GP}}$  ——给定滤波器的传递函数；

$K(P)_sT$  ——速度调节器的传递函数（待求）；

$K(P)_LT$  ——电流调节器的传递函数（待求）；

表 5 KTZ—40型装置各种工作状态不逻辑运算电路各点工作分析

电 位 工 作 状 态		N	I2	JFG	G+	G-	N	N-	N	N-	a	b	c	l0D	D	c	f	g	h	E	F	u <sub>j02</sub>	u <sub>j01</sub>	u <sub>c02</sub>	u <sub>c01</sub>	I <sub>op</sub>	
停	车	初	始	状	态	0	0	0	0	1	0	1	0	1	1	1	1	0	1	1	1	0	0	0	0	0	0
正	向	起	动	始	0	1	0	1	0	0	1	0	1	0	1	0	1	0	1	0	1	1	0	1	0	0	
正	向	起	动	续	0	1	0	1	0	0	1	0	1	0	1	0	1	0	1	0	1	1	0	1	0	+	
起	动	续,	稳	态	运	转	+	1	0	1	0	0	1	1	0	0	1	0	0	1	1	0	1	1	0	1	+
正	向	制	动	始	+	0	0	0	1	0	1	0	0	1	1	1	0	0	1	0	1	0	1	0	1	+	
正	向	制	动	续	+	0	0	0	1	0	1	0	0	1	1	1	1	0	0	1	0	1	0	1	0	-	
制	动	续,	制	动	毕	0	0	0	0	1	0	1	0	1	1	1	1	0	0	1	1	1	0	0	0	-	
负	向	起	动	始	0	0	1	0	1	0	0	1	0	0	1	1	1	0	0	1	0	1	0	1	1	+	
负	向	起	动	续	0	0	1	0	1	1	0	0	1	0	1	0	0	0	1	1	1	0	0	1	0	-	
起	动	续,	稳	态	运	转	-	0	1	0	1	1	0	0	1	1	0	1	1	1	0	0	1	0	1	-	
负	向	制	动	始	-	0	0	0	1	0	1	0	1	0	1	1	1	0	0	1	0	1	0	1	0	-	
负	向	制	动	续	-	0	0	0	1	0	1	0	1	0	1	1	1	0	0	1	0	1	0	1	0	+	
制	动	续,	制	动	毕	0	0	0	0	1	0	1	0	1	1	1	1	0	0	1	1	1	0	0	0	+	
正→	n <sub>b</sub> >0	至	0	制	动	过	+	0	1	0	1	1	0	1	0	1	1	1	0	1	0	1	0	1	1	+	
制	动	续	(n <sub>b</sub> =0)	0	0	1	0	1	1	0	0	1	0	1	0	0	0	1	1	1	0	0	1	0	-		
n <sub>b</sub> 自0	至	n <sub>b</sub> <0	过	程	-	0	1	0	1	1	0	0	1	1	0	1	0	0	0	1	1	1	0	0	1	-	
负→	n <sub>b</sub> <0	至	0	制	动	过	-	1	0	1	0	0	1	0	1	1	1	0	0	1	0	1	0	1	0	+	
制	动	续	(n <sub>b</sub> =0)	0	1	0	1	0	0	1	0	1	0	1	0	0	1	1	0	1	1	0	1	0	+		
n <sub>b</sub> 自0	至	n <sub>b</sub> >0	过	程	+	1	0	1	0	0	1	1	0	1	0	1	0	0	1	1	0	1	1	0	1	+	